

ỨNG DỤNG MẠNG NƠ RON NHÂN TẠO DỰ BÁO LÊN BỀ MẶT ĐỊA HÌNH DO KHAI THÁC HẦM LÒ

ThS. NGUYỄN QUỐC LONG
Trường Đại học Mỏ-Địa chất

Có đến nay, các lý thuyết dự báo dịch chuyển và biến dạng bề mặt mỏ được chia làm ba hướng chính: dựa vào nguyên lý hình học, dựa trên môi trường cơ học liên tục và dựa vào lý thuyết ngẫu nhiên. Các nhà khoa học trên thế giới đã phát triển nhiều phương pháp dự báo dựa trên các lý thuyết này, có thể nhóm thành 5 nhóm phương pháp như: nhóm phương pháp quan hệ thực nghiệm, hàm mặt cắt, hàm ảnh hưởng, giải tích và mô hình vật lý [9].

Với sự phát triển của khoa học máy tính, mạng nơ ron nhân tạo đã được ứng dụng rộng rãi trong nhiều lĩnh vực, trong đó có khoa học dự báo. Mạng nơ ron nhân tạo có khả năng liên kết, tích hợp các thông số khác nhau để xác định và dự báo trong nhiều ứng dụng [11]. Điểm mạnh của mạng nơ ron nhân tạo là khả năng dự báo tốt với những dữ liệu phức tạp mà người dự báo không có các thông tin và kiến thức cụ thể về tính quy luật của dữ liệu. Đối với những dữ liệu này, mạng nơ ron nhân tạo cho khả năng tổng quát hóa cao trong dự báo, hơn nữa, nó còn có khả năng dự báo cho các đại lượng xuất hiện không tuyến tính.

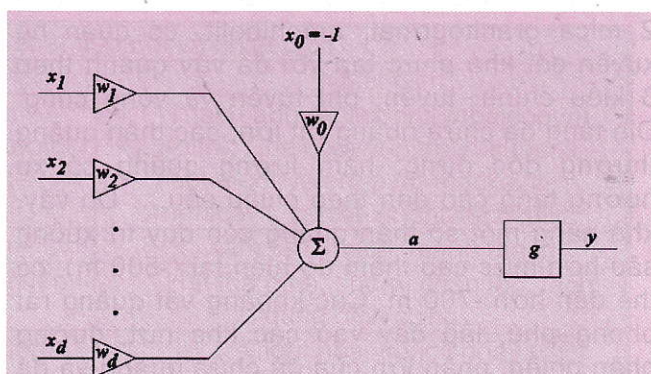
Việc dự báo các đại lượng dịch chuyển do ảnh hưởng quá trình khai thác mỏ hầm lò bằng mạng nơ ron nhân tạo đã được thực hiện bởi khá nhiều tác giả nước ngoài như nghiên cứu của Ambrožič và Turk, 2003 [6] để dự đoán mức độ sụt lún bề mặt do khai thác than tại mỏ Velenje, Slovenia; Ki-Dong Kim và nnk, 2009 [7] nghiên cứu dự báo mức độ sụt lún của thành phố Samcheok, Hàn Quốc do ảnh hưởng của mỏ than đã khai thác; nghiên cứu của Saro Lee và nnk [8] sử dụng mạng nơ ron nhân tạo để dự báo ảnh hưởng sụt lún tại khu mỏ Jeong-am, Hàn Quốc; Nghiên cứu của Yang và Xia, 2013 [10] về dự báo mức độ sụt lún bề mặt đối khi khai thác các mỏ nằm dưới lớp đá mỏng và lớp đất mượt dày.

So với các phương pháp dự báo mức độ sụt lún đã được sử dụng trước dựa vào các công thức và tham số được xác định thì phương pháp dự báo lún sử dụng mạng nơ ron nhân tạo được coi là

phương pháp dự báo không sử dụng tham số và có khả năng dự báo cho các khu vực với các đặc điểm địa chất, địa hình đặc biệt. Đây là vấn đề cần được giải quyết trong bài toán dự báo các đại lượng dịch chuyển do ảnh hưởng của quá trình khai thác mỏ. Dự báo mức độ sụt lún bằng mạng nơ ron nhân tạo là phương pháp hiện đại, phương pháp này cần có dữ liệu thực tế quan trắc lún trên các khu vực khai thác để làm dữ liệu đầu vào huấn luyện mạng, tuy vậy điều này có thể dễ dàng thu nhận được hơn nhiều so với việc thu thập các yếu tố ảnh hưởng cần thiết với độ chính xác cao cho các nhóm phương pháp đề cập ở trên.

1. Khái lược về mạng nơ ron nhân tạo

Mạng nơ ron nhân tạo được xây dựng từ những năm 1940 nhằm giải quyết các bài toán về phân nhóm, phân lớp, xấp xỉ, tính toán tối ưu, điều khiển, dự báo dựa trên mô phỏng một số chức năng của bộ não người. Mạng nơ ron nhân tạo được thiết kế tương tự như nơ ron sinh học được ứng dụng rộng trong nhiều lĩnh vực, nó có khả năng liên kết, tích hợp các thông số khác nhau để xác định và dự báo hiện tượng theo nguyên lý nhân-quả. Mạng nơ ron nhân tạo là thuật toán mô phỏng hoạt động của hệ thần kinh sinh học trong việc giải quyết các bài toán kỹ thuật và công nghệ. H.1 minh họa sơ đồ đơn giản của mạng nơ ron nhân tạo.



H.1. Sơ đồ cấu tạo nơ ron nhân tạo

Cấu trúc mạng nơ ron nhân tạo bao gồm ba lớp chính: lớp đầu vào, lớp ẩn và lớp đầu ra. Lớp đầu vào là nguồn thông tin của cả mạng với các tín hiệu x_1, x_2, \dots, x_d là các số thực. Mỗi giá trị đầu vào được gán một trọng số liên kết w_1, w_2, \dots, w_d (synaptic weight). Tổng các tích của tín hiệu đầu vào với các trọng số được gọi là hàm kích hoạt nơ ron. Tập hợp x_1, \dots, x_d tạo ra véc-tơ đầu vào x , giá trị $x_0 = -1$ là một hằng số và cùng với trọng số liên kết w_0 tạo ra ngưỡng hay còn gọi là độ lệch (bias).

Về quan điểm toán học, mạng nhân tạo thực hiện các phép biến đổi:

$$a = \sum_{i=0}^d w_i \cdot x_i; \quad y = g(a) = g\left(\sum_{i=0}^d w_i \cdot x_i\right). \quad (1)$$

Sự lan truyền và kết nối thông tin giữa các nơ ron trong từng lớp theo nguyên tắc kết nối các tín hiệu. Lớp nơ ron đầu ra là kết quả xử lý, thể hiện mối quan hệ nhân-quả giữa đầu vào và đầu ra. Giá trị đầu ra của mỗi nơ ron sẽ được xác định bằng một hàm số gọi là hàm kích hoạt, hàm kích hoạt có nhiều dạng khác nhau như hàm ngưỡng, hàm logistics,... Quá trình xác định mối quan hệ giữa đầu vào và đầu ra được gọi là quá trình huấn luyện mạng mà nội dung chủ yếu là hiệu chỉnh trọng số liên kết.

Để một mạng nơ ron nhân tạo mô phỏng chính xác một hiện tượng, cần phải có quá trình huấn luyện mạng. Trong quá trình này, các thông số khác của mạng không thay đổi, trong khi giá trị các trọng số liên kết được điều chỉnh sao cho đầu ra của mạng gần với giá trị mong muốn. Mỗi một trường hợp tham gia trong quá trình huấn luyện là một véc-tơ dữ liệu biểu diễn số liệu quan trắc của hiện tượng. Quá trình học của mạng có thể chia ra thành 2 loại là học có giám sát và học không giám sát. Trong trường hợp xây dựng mô hình dự báo biến dạng mỏ thì hầu hết sử dụng quá trình học có giám sát, trong đó, để xác định trọng số của các liên kết trong mạng cần có các véc-tơ dữ liệu đầu vào, các giá trị và yêu cầu của kết quả làm đầu ra. Như vậy, trong quá trình học có giám sát, mỗi ví dụ học bao gồm hai phần: véc-tơ dữ liệu x_n ở đầu vào và véc-tơ y_n ở đầu ra.

2. Đánh giá khả năng ứng dụng mạng nơ ron nhân tạo dự báo lún bề mặt do khai thác hầm lò

2.1. Các yếu tố trong tập dữ liệu huấn luyện

Dữ liệu đầu vào huấn luyện mạng bao gồm 11 yếu tố đặc trưng cho yếu tố địa chất-khai thác của vỉa than:

- ❖ Góc dốc vỉa (α);
- ❖ Chiều dày khâu vỉa (m);
- ❖ Độ sâu khai thác ranh giới trên lò chở (h);
- ❖ Góc dịch chuyển xuôi dốc (β);
- ❖ Góc dịch chuyển ngược dốc (γ);

- ❖ Góc lún cực đại (θ);
- ❖ Kích thước khoảng trống khai thác theo hướng dốc (l);
- ❖ Kích thước khoảng trống khai thác theo hướng đường phương (w);
- ❖ Kích thước bồn dịch chuyển theo hướng ngược dốc (L_1);
- ❖ Kích thước bồn dịch chuyển theo hướng ngược dốc (L_2);
- ❖ Khoảng cách từ biên giới bồn tới điểm (s).

2.2. Xác định các thông số góc dịch chuyển trong tập huấn luyện

Để xây dựng một tập huấn luyện cho mạng thì cần rất nhiều số liệu quan trắc lún trên các vỉa khai thác có các điều kiện địa chất-khai thác khác nhau. Tuy nhiên trong thực tế tại Việt Nam, tại bể than Quảng Ninh mới chỉ xây dựng được một số trạm quan trắc tại các mỏ Hà Lầm, Nam Mẫu, Mạo Khê, Thống Nhất, Mông Dương [3]. Số liệu lún quan trắc được hầu hết chưa phải là độ lún khi khai thác toàn phần, vì vậy đường cong lún trên mặt cắt chính của bồn dịch chuyển thu được chưa phản ánh hết mức độ ảnh hưởng của quá trình khai thác lên bề mặt. Vì vậy để xây dựng tập huấn luyện tác giả sử dụng phương pháp vùng tương tự do giáo sư Kazakovski đề xuất để xác định các thông số góc dịch chuyển. Phương pháp này dựa trên sự so sánh hệ số kiêm cố đất đá f để xác định các góc dịch động cho vùng mỏ chưa nghiên cứu. Phân loại nhóm mỏ theo độ kiêm cố (độ cứng) đất đá bằng phương pháp vùng tương tự được thể hiện trên Bảng 1 [5].

Bảng 1. Phân loại nhóm mỏ theo độ cứng đất đá

| Nhóm mỏ | Hệ số kiêm cố đất đá f | | δ | γ |
|---------|--------------------------|------------------|----------|----------|
| | Trung bình | Khoảng giao động | | |
| I | 0,1 | đến 0,3 | 45 | 45 |
| II | 0,5 | 0,3÷0,7 | 55 | 55 |
| III | 1,0 | 0,8÷1,2 | 60 | 60 |
| IV | 1,5 | 1,3÷2,0 | 65 | 65 |
| V | 2,5 | 2,1÷3,5 | 70 | 70 |
| VI | 4,0 | 3,6÷4,5 | 75 | 75 |
| VII | 5,5 | 5,0÷6,0 | 80 | 80 |
| VIII | 8,0 | 6,1÷12,0 | 85 | 85 |

Theo số liệu địa chất thăm dò bể than Quảng Ninh, địa tầng chứa than của các mỏ Hà Lầm, Mạo Khê, Nam Mẫu, Mông Dương, Thống Nhất,... bao gồm: cát kết, bột kết, sét kết, cuội kết, sét than và các vỉa than, chúng nằm xen kẽ và phân nhip. Các lớp đá có độ gắn kết rắn chắc, thuộc loại đá cứng bền vững. Độ kiêm cố đất đá trung bình tại các mỏ đã được thăm dò nằm trong khoảng từ 4÷7 [1], do vậy

khi lựa chọn các góc dịch động để đưa vào tệp huấn luyện tác giả chọn bể than Quảng Ninh thuộc nhóm VII, Góc dịch chuyển theo phương δ bằng góc dịch

Bảng 2. Xác định góc dịch chuyển β theo nhóm mỏ

| Nhóm mỏ | Góc dốc vỉa α (độ) | | | | | | | | | | | | | | | | |
|---------|---------------------------|----|----|----|----|----|----|----|----|----|----|----|----|----|----|----|----|
| | 0 | 5 | 10 | 15 | 20 | 25 | 30 | 35 | 40 | 45 | 50 | 55 | 60 | 65 | 70 | 80 | 90 |
| II | 55 | 51 | 47 | 44 | 42 | 40 | 39 | 38 | 37 | 37 | 35 | 34 | 33 | 32 | 32 | 30 | 30 |
| III | 60 | 56 | 52 | 49 | 46 | 44 | 42 | 40 | 38 | 37 | 36 | 35 | 34 | 33 | 32 | 30 | 30 |
| IV | 65 | 60 | 56 | 53 | 50 | 48 | 46 | 42 | 40 | 38 | 36 | 34 | 33 | 33 | 32 | 30 | 30 |
| V | 70 | 65 | 61 | 58 | 54 | 51 | 48 | 46 | 43 | 40 | 38 | 36 | 33 | 31 | 30 | 30 | 30 |
| VI | 75 | 70 | 66 | 62 | 58 | 54 | 50 | 48 | 46 | 42 | 38 | 34 | 31 | 30 | 30 | 30 | 35 |
| VII | 80 | 75 | 70 | 66 | 62 | 58 | 53 | 49 | 46 | 42 | 38 | 34 | 30 | 30 | 30 | 30 | 35 |
| VIII | 85 | 80 | 75 | 70 | 65 | 61 | 57 | 52 | 47 | 42 | 38 | 34 | 30 | 30 | 30 | 30 | 35 |

Góc lún cực đại θ được xác định theo công thức thực nghiệm $\theta=90^\circ - k_1\alpha$. Trong đó: giá trị k_1 xác định tùy thuộc vào nhóm khoảng sàng và tỷ số tổng chiều dày đất phủ và lớp nằm ngang mêzodoi với chiều sâu khai thác trung bình. Để xây dựng tệp dữ liệu huấn luyện và kiểm định phục vụ cho việc đánh giá khả năng sử dụng mạng nơ ron nhân tạo trong bài toán dự báo biến dạng ở mỏ thì không cần thiết phải thay đổi các giá trị k_1 , do vậy với điều kiện khai thác mỏ ở Quảng Ninh tác giả cũng chọn giá trị $k_1=0,77$ [3].

Bảng 3. Các thông số địa chất-khai thác trong tệp huấn luyện mạng

| T T | Góc dốc vỉa (α) | Chiều dày khai thác (m) | Độ sâu khai thác (h) | Kích thước khai thác (lò chọi) | | Góc dịch chuyển | | Góc lún cực đại θ |
|--------|-----------------------------|----------------------------|-------------------------|--------------------------------|-----|-----------------|----------|-----------------------------|
| | | | | (L) | (W) | β | γ | |
| 1 | 10 | 4 | 100 | 50 | 100 | 70° | 80° | 82° |
| | | 6 | 200 | 100 | 200 | 70° | 80° | 82° |
| | | 8 | 300 | 150 | 300 | 70° | 80° | 82° |
| 2 | 20 | 4 | 100 | 50 | 100 | 62° | 80° | 75° |
| | | 6 | 200 | 100 | 200 | 62° | 80° | 75° |
| | | 8 | 300 | 150 | 300 | 62° | 80° | 75° |
| 3 | 30 | 4 | 100 | 50 | 100 | 53° | 80° | 67° |
| | | 6 | 200 | 100 | 200 | 53° | 80° | 672° |
| | | 8 | 300 | 150 | 300 | 53° | 80° | 67° |

Độ lún của các điểm trên trên mặt cắt cơ bản đi qua tâm bồn dịch chuyển phía trên các vỉa khai thác có các thông số như Bảng 3 được xác định theo hàm dự báo (2) dưới đây, hàm (2) đã được chứng minh phù hợp với số liệu quan trắc lún thực tế tại mỏ Thống Nhất, Quảng Ninh [4] vì vậy có thể coi độ lún xác định từ hàm này tương đương với độ lún thực tế ở mỏ.

$$\eta(s) = \eta_{\max} \left[c.e^{-6,3\left(\frac{-s}{L_1}\right)^{2,64}} + d.e^{-4,36\left(\frac{s}{L_2}\right)^{1,72}} \right]. \quad (2)$$

chuyển theo hướng ngược dốc $\gamma=80^\circ$. Góc dịch chuyển theo hướng xuôi dốc phụ thuộc góc dốc của vỉa khai thác và được xác định dựa trên Bảng 2 [5].

2.3. Xác định các yếu tố khác trong tệp huấn luyện mạng

Để xây dựng tệp dữ liệu huấn luyện, 3 kích thước khác nhau của vùng khai thác ($L \times W$) được đưa vào tệp huấn luyện (50×100 m, 100×200 m, 150×300 m). Các ranh giới trên của lò chọi nằm ở 3 độ sâu khác nhau (100 m, 200 m, 300 m), độ dày khai thác là 4 m, 6 m và 8 m. Góc dốc của vỉa là 10° , 20° , 30° , Các góc θ , β , γ xác định như trên mục 2.2 đối với nhóm mỏ VII. Các thông số địa chất-khai thác đưa vào tệp huấn luyện mạng như trong Bảng 3.

Trong đó: L_1 và L_2 lần lượt là kích thước bán bồn dịch chuyển theo hướng ngược dốc và xuôi dốc, xác định theo (3) và (4);

$$L_1 = [h \cdot \cot(\gamma) + 0,5 \cdot l \cdot \cos(\alpha) + (h + 0,5 \cdot l \cdot \sin(\alpha)) \cdot \cot(\theta)]; \quad (3)$$

$$L_2 = [0,5 \cdot l \cdot \cos(\alpha) - (h + 0,5 \cdot l \cdot \sin(\alpha)) \cdot \cot(\theta) + (h + l \cdot \sin(\alpha)) \cdot \cot(\beta)]; \quad (4)$$

Tại đây: s - Khoảng cách từ điểm cần dự báo tới điểm có độ lún cực đại; s mang giá trị âm khi nằm trên phía ngược dốc và dương khi nằm dưới phía xuôi dốc; c và d - Các hệ số điều kiện, xác định theo công thức (5);

$$\begin{cases} c=1, d=0 & (s<0) \\ c=0, d=1 & (s<0) \\ c=0.5, d=0.5 & (s=0) \end{cases} \quad (5)$$

η_{\max} là độ lún cực đại của bồn dịch chuyển, xác định theo (6);

$$\eta_{\max} = (a \cdot m \cdot \cos \alpha \cdot N). \quad (6)$$

Với a là hệ số lún tương đối, xác định theo số liệu quan trắc thực địa, trong điều kiện các mỏ ở Việt Nam thì $a=0,8$ [3], N là hệ số mức độ khai thác, trong trường hợp khai thác toàn phần thì $N=1$ [2]. Sử dụng các tham số đầu vào như trong Bảng 3, kết hợp với độ lún tính được khi thay các tham số này vào phương trình (2) ta có được một tệp huấn luyện và một tệp đích tương ứng.

Bảng 4. Thông số tệp kiểm định mạng

| Trường hợp | Góc dốc vỉa | Chiều dài khâu vỉa | Độ sâu khai thác | Kích thước khai thác | | Góc dịch chuyển | Góc lún cực đại | |
|------------|-------------|--------------------|------------------|----------------------|-----|-----------------|-----------------|-----|
| | (α) | (m) | (h) | (L) | (W) | β | γ | θ |
| 1 | 15 | 5,0 | 150 | 120 | 250 | 66° | 80° | 78° |
| 2 | 25 | 6,7 | 230 | 195 | 350 | 58° | 80° | 71° |
| 3 | 35 | 3,0 | 250 | 200 | 280 | 49° | 80° | 63° |

Kết hợp các thông số trong 3 trường hợp vỉa khai thác 15°, 25°, 35° trên Bảng 4 với biểu thức (2) ta xác định được độ lún các điểm trên bề mặt, độ lún này được coi là độ lún thực tế để so sánh với độ lún dự báo từ mạng, kết quả so sánh giá trị độ lún thể hiện trên các Bảng 5. Biểu đồ so sánh đường 2 cong lún như trên các hình H.2, H.3, H.4. Trong trường hợp 1, độ lệch dự báo và thực tế lớn nhất là 0,127, nhỏ nhất là -0,204, RMS=0,086, tương đương 2 % độ lún cực đại. Trường hợp 2 độ lệch lớn nhất là 0,212, nhỏ nhất là -0,163, RMS=0,106 m, tương đương 2 % độ lún cực đại. Trường hợp 3, độ lệch lớn nhất là 0,019, nhỏ nhất là -0,183, RMS=0,095 m, tương đương 5 % độ lún cực đại (Bảng 6). Với độ lệch giữa đường cong dự báo và thực tế thể hiện qua chỉ số RMS rất nhỏ thì trên các biểu đồ so sánh dễ dàng nhận thấy các đường cong lún rất sát nhau, chứng tỏ kết quả dự báo đạt độ chính xác cao.

Bảng 5. So sánh giá trị độ lún dự báo bởi mạng nơ ron và thực tế

| Trường hợp 1 | | | |
|--------------|----------------|---------------|---------|
| Khoảng cách | Độ lún thực tế | Độ lún dự báo | Độ lệch |
| -120.000 | -0.007 | -0.015 | 0.008 |
| -108.000 | -0.033 | -0.071 | 0.038 |
| -96.000 | -0.117 | -0.153 | 0.036 |
| -84.000 | -0.331 | -0.315 | -0.017 |

2.4. Khảo sát khả năng dự báo lún của mạng nơ ron nhân tạo

Thử nghiệm với mô hình mạng nơ ron có 2 lớp ẩn, lớp ẩn thứ nhất có 8 nơ ron, lớp ẩn thứ 2 có 8 nơ ron, vì vậy sẽ có $11.8+8.8+8.1=160$ kết nối giữa các nơ ron và cũng cần có từng đầy trọng số cần được khởi tạo trong quá trình huấn luyện.

Kiểm tra khả năng dự báo của mạng nơ ron sau huấn luyện được tiến hành trên 3 vỉa khai thác có các tham số độ dốc, kích thước khai thác, kích thước bồn dịch chuyển, góc dịch chuyển, góc lún cực đại và độ sâu khai thác khác hoàn toàn khác dữ liệu trong tệp huấn luyện ở Bảng 3. Các thông số tệp kiểm định dùng để đánh giá khả năng của mạng như trên Bảng 4.

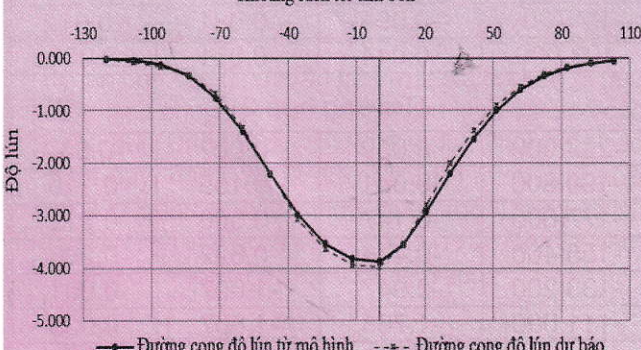
| | | | |
|---------|--------|--------|--------|
| -72.000 | -0.754 | -0.670 | -0.084 |
| -60.000 | -1.408 | -1.330 | -0.077 |
| -48.000 | -2.208 | -2.201 | -0.006 |
| -36.000 | -2.975 | -3.064 | 0.089 |
| -24.000 | -3.535 | -3.634 | 0.099 |
| -12.000 | -3.813 | -3.939 | 0.127 |
| 0.000 | -3.868 | -3.965 | 0.097 |
| 10.300 | -3.552 | -3.550 | -0.002 |
| 20.600 | -2.922 | -2.804 | -0.118 |
| 30.900 | -2.202 | -1.998 | -0.204 |
| 41.200 | -1.535 | -1.374 | -0.161 |
| 51.500 | -0.996 | -0.905 | -0.091 |
| 61.800 | -0.604 | -0.543 | -0.062 |
| 72.100 | -0.344 | -0.294 | -0.050 |
| 82.400 | -0.184 | -0.152 | -0.032 |
| 92.700 | -0.093 | -0.081 | -0.012 |
| 103.000 | -0.044 | -0.051 | 0.006 |

Trường hợp 2

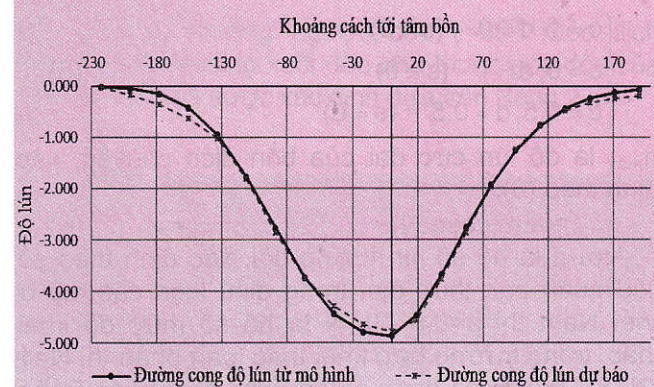
| | | | |
|----------|--------|--------|--------|
| -222.000 | -0.009 | -0.007 | -0.002 |
| -199.800 | -0.041 | -0.159 | 0.118 |
| -177.600 | -0.147 | -0.360 | 0.212 |
| -155.400 | -0.416 | -0.622 | 0.206 |
| -133.200 | -0.947 | -1.007 | 0.061 |
| -111.000 | -1.768 | -1.807 | 0.039 |
| -88.800 | -2.773 | -2.866 | 0.093 |
| -66.600 | -3.737 | -3.747 | 0.010 |
| -44.400 | -4.440 | -4.277 | -0.163 |

| Khoảng cách | Độ lún thực tế | Độ lún dự báo | Độ lệch |
|--------------|----------------|---------------|---------|
| -22.200 | -4.788 | -4.636 | -0.153 |
| 0.000 | -4.858 | -4.766 | -0.092 |
| 19.000 | -4.461 | -4.551 | 0.090 |
| 38.000 | -3.669 | -3.757 | 0.088 |
| 57.000 | -2.765 | -2.866 | 0.101 |
| 76.000 | -1.928 | -1.955 | 0.027 |
| 95.000 | -1.251 | -1.231 | -0.020 |
| 114.000 | -0.759 | -0.756 | -0.003 |
| 133.000 | -0.432 | -0.474 | 0.043 |
| 152.000 | -0.231 | -0.315 | 0.084 |
| 171.000 | -0.117 | -0.226 | 0.109 |
| 190.000 | -0.056 | -0.175 | 0.120 |
| Trường hợp 3 | | | |
| -283.000 | -0.004 | 0.001 | -0.005 |
| -255.000 | -0.017 | -0.010 | -0.006 |
| -226.000 | -0.060 | -0.052 | -0.007 |
| -198.000 | -0.168 | -0.159 | -0.009 |
| -170.000 | -0.383 | -0.328 | -0.056 |
| -142.000 | -0.716 | -0.635 | -0.081 |
| -113.000 | -1.122 | -0.997 | -0.125 |
| -85.000 | -1.512 | -1.367 | -0.146 |
| -57.000 | -1.797 | -1.636 | -0.161 |
| -28.000 | -1.938 | -1.845 | -0.093 |
| 0.000 | -1.966 | -1.886 | -0.080 |
| 24.000 | -1.805 | -1.620 | -0.186 |
| 48.000 | -1.485 | -1.309 | -0.176 |
| 73.000 | -1.119 | -0.980 | -0.139 |
| 97.000 | -0.780 | -0.661 | -0.119 |
| 121.000 | -0.506 | -0.477 | -0.030 |
| 145.000 | -0.307 | -0.326 | 0.019 |
| 169.000 | -0.175 | -0.166 | -0.009 |
| 194.000 | -0.094 | -0.077 | -0.017 |
| 218.000 | -0.047 | -0.030 | -0.017 |
| 242.000 | -0.023 | -0.004 | -0.018 |

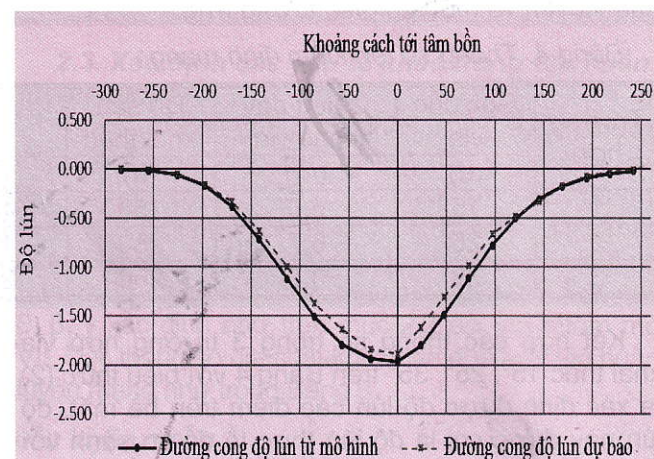
Khoảng cách tới tâm bồn



H.2. So sánh đường cong dự báo và thực tế trong trường hợp 1



H.3. So sánh đường cong dự báo và thực tế trong trường hợp 2



H.4. So sánh đường cong dự báo và thực tế trong trường hợp 3

Bảng 6. So sánh kết quả dự báo với thực tế

| Góc dốc vỉa (α) | Độ lệch lớn nhất (ΔH_{max}) | Độ lệch nhỏ nhất (ΔH_{min}) | Sai số RMS |
|--------------------------|---------------------------------------|---------------------------------------|------------|
| 15° | 0,127 | -0,204 | 0,086 |
| 25° | 0,212 | -0,163 | 0,106 |
| 35° | 0,019 | -0,183 | 0,095 |

3. Kết luận

Kết quả thực nghiệm cho thấy việc sử dụng mạng nơ ron truyền thẳng MLP áp dụng phương pháp học có giám sát vào dự báo lún cho mặt cắt bồn lún lý thuyết đạt chất lượng tốt, thể hiện qua giá trị sai số RMS lớn nhất trong các trường hợp thử nghiệm chỉ xấp xỉ 5 % so với độ lún thực tế cực đại. Với mạng nơ ron truyền thẳng sau khi thử nghiệm nhiều lần cho thấy mạng nơ ron có cấu trúc hai lớp ẩn với số lượng từ 8÷10 nơ ron mỗi lớp là mạng có cấu trúc phù hợp để dự báo lún ở các mỏ than có các tham số đầu vào tương tự như trong mô hình thực nghiệm. Khi dữ liệu quan trắc dùng

để huấn luyện mạng phong phú, hoàn toàn có thể sử dụng mô hình mạng nơ ron nhân tạo để dự báo sụt lún bề mặt mỏ do khai thác hầm lò gây ra. □

TÀI LIỆU THAM KHẢO

1. Nguyễn Đình Bé (1977), Nghiên cứu dịch động đất đá khi khai thác vỉa than nghiêng, thoái có đứt gãy kiến tạo, Đại học Mỏ Leningrad, Liên Xô cũ (Tiếng Nga).
2. Nguyễn Đình Bé, Vương Trọng Kha (2000), Dịch chuyển và biến dạng đất đá trong khai thác mỏ, NXB Giao thông Vận tải, Hà Nội.
3. Phạm Văn Chung (2010), Nghiên cứu xác định các thông số dịch chuyển biến dạng bề mặt đất trong điều kiện địa chất đặc biệt khi khai thác hầm lò bể than Quảng Ninh, Báo cáo đề tài Bộ Công Thương, Hà Nội.
4. Nguyễn Quốc Long (2015), "Xây dựng hàm dự báo lún bề mặt do khai thác vỉa dốc tại mỏ than Thống Nhất", Tạp chí Công nghiệp Mỏ, Hà Nội, số 4.
5. Quy phạm ngành mỏ (1981), Qui tắc bảo vệ công trình và đối tượng thiên nhiên chống ảnh hưởng có hại của khai thác hầm lò, Viện VNIMI, Liên bang Nga.
6. Tomaž Ambrožič, Goran Turk (2003), "Prediction of subsidence due to underground mining by artificial neural networks", Computers & Geosciences, 29 (5), 627-637.
7. Ki-Dong Kim, Saro Lee, Hyun-Joo Oh (2009), "Prediction of ground subsidence in Samcheok City, Korea using artificial neural networks and GIS", Environmental Geology, 61-70.
8. Saro Lee, Inhye Park, Jong-Kuk Choi (2012), "Spatial Prediction of Ground Subsidence Susceptibility Using an Artificial Neural Network", Environmental Management, 49, 347-358.
9. David J. Reddish, Barry N. Whittaker (2012), Subsidence: occurrence, prediction and control, Elsevier, England.
10. Weifeng Yang, Xiaohong Xia (2013), "Prediction of mining subsidence under thin bedrocks and thick unconsolidated layers based on field measurement and artificial neural networks", Computers & Geosciences, 49, 199–203.
11. Guoqiang Zhang, B. Eddy Patuwo, Michael Y. Hu (1998), "Forecasting with artificial neural networks: The state of the art", International Journal of Forecasting, 14, 35-62.

Người biên tập: Võ Chí Mỹ

Từ khóa: khai thác hầm lò, dự báo biến dạng, mạng nơ ron nhân tạo.

Ngày nhận bài: 05 tháng 03 năm 2016

Ngày duyệt đăng bài: 06 tháng 8 năm 2016

SUMMARY

This paper presents the results of assessing the artificial neural network usability to predict surface subsidence caused by underground coal mining, where a 2-layer feedforward network are used. Training and testing data are taken from the subsidence forecast model that has been demonstrated to fit with geological-mining conditions in Quảng Ninh coal seams. Assessment of Predictability of the neural network after training period was conducted in 3 geological - mining conditions which absolutely different from the training conditions. The largest RMS of 3 cases is 0.106, equivalent to 5 % of maximum subsidence. This result is prerequisite for building a subsidence prediction model applied in underground mining in Quảng Ninh coal basin.

ĐỀ XUẤT ĐẶT TRẠM...

(Tiếp theo trang 64)

3. Viện Khoa học Năng lượng, Viện KH Việt Nam (2008), Đề án, "Quy hoạch phát triển điện lực thị xã Cẩm Phả giai đoạn 2007-2010 định hướng đến 2015", Hà Nội.

Người biên tập: Đào Đắc Tạo

Từ khóa: lưới điện trung áp; cấp điện áp; trạm biến áp trung gian; nguyên lý vòng tròn; bán kính cấp điện; quy hoạch cung cấp điện

Ngày nhận bài: 14 tháng 02 năm 2016

Ngày duyệt đăng bài: 06 tháng 8 năm 2016

SUMMARY

The article refers to the installation of intermediate substations to supply electricity to the loads in Hạ Long – Cẩm Phả area by circle principle. This is consistent with the transmission voltage levels, power supply radius, in accordance with the mine electrical loads. The research results can serve the planning and development of medium-voltage power network in the region.